

# **Faktorisering med hjälp av kvantberäkningar**

Lars Engebretsen 2004-11-19

# Bakgrund

Vanliga datorer styrs av klassiska fysikens lagar.

Vanliga datorer kan simuleras av turingmaskiner i polynomisk tid.

Kanske kan vi lösa svårare problem med kvantmekanik?

Vi behöver en vettig modell som dessutom går att implementera.

Modellen bör kunna lösa svårare problem än "vanliga" datorer.

# Vad är en kvantdator?

Klassisk programmering: C, C++, Java, källkod och kompilering:  
g++ -O4 gurka.cc; javac apelsin.java; ./a.out; gdb; . . .

Såsmåningom hoppas vi på något liknande för kvantdatorer.

Tekniken är nu mycket mer primitiv, söker analogier till turingmaskinen.

Ett "quantprogram": matematiska operationer på ett matematiskt objekt.

Detta kan (ska kunna) realiseras fysiskt i laboratorium.

# Vad är en kvantdator?

Man kan tänka på kvantdatorn på två sätt.

- 1) En klump materia i ett laboratorium.

Beräkning: Utsätt klumpen för olika magnetfält.

- 2) Ett matematiskt objekt (en funktion).

Beräkning En följd av matematiska operationer efter vissa regler.

Vi kommer att använda det senare idag.

## **Modell – översikt**

Informationslagring: Vågfunktionen, en linjärkombination av tillstånd.

Programsteg: Lokala unitära transformationer av vågfunktionen.

Mätning: Vi frågar systemet vilket tillstånd det är i.

Slumpvis svar som beror på vågfunktionen.

En mätning förstör nästan all information som finns i vågfunktionen.

## Modell – kvantbiten

En kvantbit beskrivs av två basillstånd:  $|0\rangle$  och  $|1\rangle$ .

Kvantbiten kan vara i tillstånd  $\alpha_0|0\rangle + \alpha_1|1\rangle$  så snart  $\|\alpha_0\|^2 + \|\alpha_1\|^2 = 1$ .

Ibland skriver vi  $\alpha_0|0\rangle + \alpha_1|1\rangle$  som  $\begin{pmatrix} \alpha_0 \\ \alpha_1 \end{pmatrix}$ .

## Modell – kvantbiten

En kvantbit beskrivs av två basillstånd:  $|0\rangle$  och  $|1\rangle$ .

Kvantbiten kan vara i tillstånd  $\alpha_0|0\rangle + \alpha_1|1\rangle$  så snart  $\|\alpha_0\|^2 + \|\alpha_1\|^2 = 1$ .

Ibland skriver vi  $\alpha_0|0\rangle + \alpha_1|1\rangle$  som  $\begin{pmatrix} \alpha_0 \\ \alpha_1 \end{pmatrix}$ .

Mätning: Vi frågar kvantbiten vilket tillstånd den är i.  
Sannolikheten att vi får svaret  $|i\rangle$  är  $\|\alpha_i\|^2$ .

Efter mätningen kollapsar kvantbiten till det tillstånd vi såg vid mätningen.

# **Modell – programsteg**

Minsta byggstenen: Unitära operatorer.

## Modell – programsteg

Minsta byggstenen:  $2 \times 2$ -matriser sådana att  $A^* = A^{-1}$ .

En matris  $A$  avbildar tillståndet  $\begin{pmatrix} \alpha_0 \\ \alpha_1 \end{pmatrix}$  på  $A \begin{pmatrix} \alpha_0 \\ \alpha_1 \end{pmatrix}$ .

## Modell – programsteg

Minsta byggstenen:  $2 \times 2$ -matriser sådana att  $A^* = A^{-1}$ .

En matris  $A$  avbildar tillståndet  $\begin{pmatrix} \alpha_0 \\ \alpha_1 \end{pmatrix}$  på  $A \begin{pmatrix} \alpha_0 \\ \alpha_1 \end{pmatrix}$ .

$\begin{pmatrix} 1 & 0 \\ 0 & 1 \end{pmatrix}$  avbildar  $\begin{pmatrix} \alpha_0 \\ \alpha_1 \end{pmatrix}$  på  $\begin{pmatrix} 1 & 0 \\ 0 & 1 \end{pmatrix} \begin{pmatrix} \alpha_0 \\ \alpha_1 \end{pmatrix} = \begin{pmatrix} \alpha_0 \\ \alpha_1 \end{pmatrix}$ .

## Modell – programsteg

Minsta byggstenen:  $2 \times 2$ -matriser sådana att  $A^* = A^{-1}$ .

En matris  $A$  avbildar tillståndet  $\begin{pmatrix} \alpha_0 \\ \alpha_1 \end{pmatrix}$  på  $A \begin{pmatrix} \alpha_0 \\ \alpha_1 \end{pmatrix}$ .

$\begin{pmatrix} 1 & 0 \\ 0 & 1 \end{pmatrix}$  avbildar varje tillstånd på sig själv.

## Modell – programsteg

Minsta byggstenen:  $2 \times 2$ -matriser sådana att  $A^* = A^{-1}$ .

En matris  $A$  avbildar tillståndet  $\begin{pmatrix} \alpha_0 \\ \alpha_1 \end{pmatrix}$  på  $A \begin{pmatrix} \alpha_0 \\ \alpha_1 \end{pmatrix}$ .

$\begin{pmatrix} 1 & 0 \\ 0 & 1 \end{pmatrix}$  avbildar varje tillstånd på sig själv.

$\begin{pmatrix} 0 & 1 \\ 1 & 0 \end{pmatrix}$  avbildar  $\begin{pmatrix} \alpha_0 \\ \alpha_1 \end{pmatrix}$  på  $\begin{pmatrix} 0 & 1 \\ 1 & 0 \end{pmatrix} \begin{pmatrix} \alpha_0 \\ \alpha_1 \end{pmatrix} = \begin{pmatrix} \alpha_1 \\ \alpha_0 \end{pmatrix}$ .

## Modell – programsteg

Minsta byggstenen:  $2 \times 2$ -matriser sådana att  $A^* = A^{-1}$ .

En matris  $A$  avbildar tillståndet  $\begin{pmatrix} \alpha_0 \\ \alpha_1 \end{pmatrix}$  på  $A \begin{pmatrix} \alpha_0 \\ \alpha_1 \end{pmatrix}$ .

$\begin{pmatrix} 1 & 0 \\ 0 & 1 \end{pmatrix}$  avbildar varje tillstånd på sig själv.

$\begin{pmatrix} 0 & 1 \\ 1 & 0 \end{pmatrix}$  definierar  $\alpha_0|0\rangle + \alpha_1|1\rangle \mapsto \alpha_1|0\rangle + \alpha_0|1\rangle$ .

## Modell – programsteg

Minsta byggstenen:  $2 \times 2$ -matriser sådana att  $A^* = A^{-1}$ .

En matris  $A$  avbildar tillståndet  $\begin{pmatrix} \alpha_0 \\ \alpha_1 \end{pmatrix}$  på  $A \begin{pmatrix} \alpha_0 \\ \alpha_1 \end{pmatrix}$ .

$\begin{pmatrix} 1 & 0 \\ 0 & 1 \end{pmatrix}$  avbildar varje tillstånd på sig själv.

$\begin{pmatrix} 0 & 1 \\ 1 & 0 \end{pmatrix}$  definierar  $\alpha_0|0\rangle + \alpha_1|1\rangle \mapsto \alpha_1|0\rangle + \alpha_0|1\rangle$ .

$\frac{1}{\sqrt{2}} \begin{pmatrix} 1 & -1 \\ 1 & 1 \end{pmatrix}$  definierar  $|0\rangle \mapsto \frac{1}{\sqrt{2}}|0\rangle + \frac{1}{\sqrt{2}}|1\rangle$ .

## Modell – ett exempel

Systemet startar i tillstånd  $|0\rangle$ . Lägg på operatorn  $A = \frac{1}{2} \begin{pmatrix} 1+i & 1-i \\ 1-i & 1+i \end{pmatrix}$ .

## Modell – ett exempel

Systemet startar i tillstånd  $|0\rangle$ . Lägg på operatorn  $A = \frac{1}{2} \begin{pmatrix} 1+i & 1-i \\ 1-i & 1+i \end{pmatrix}$ .

Systemet byter tillstånd till  $\frac{1}{2} \begin{pmatrix} 1+i & 1-i \\ 1-i & 1+i \end{pmatrix} \begin{pmatrix} 1 \\ 0 \end{pmatrix} = \frac{1}{2} \begin{pmatrix} 1+i \\ 1-i \end{pmatrix}$ .

## Modell – ett exempel

Systemet startar i tillstånd  $|0\rangle$ . Lägg på operatorn  $A = \frac{1}{2} \begin{pmatrix} 1+i & 1-i \\ 1-i & 1+i \end{pmatrix}$ .

Systemet byter tillstånd till  $\frac{1}{2} \begin{pmatrix} 1+i & 1-i \\ 1-i & 1+i \end{pmatrix} \begin{pmatrix} 1 \\ 0 \end{pmatrix} = \frac{1}{2} \begin{pmatrix} 1+i \\ 1-i \end{pmatrix}$ .

En mätning nu ger  $|0\rangle$  och  $|1\rangle$  med samma sannolikhet.

## Modell – ett exempel

Systemet startar i tillstånd  $|0\rangle$ . Lägg på operatorn  $A = \frac{1}{2} \begin{pmatrix} 1+i & 1-i \\ 1-i & 1+i \end{pmatrix}$ .

Systemet byter tillstånd till  $\frac{1}{2} \begin{pmatrix} 1+i & 1-i \\ 1-i & 1+i \end{pmatrix} \begin{pmatrix} 1 \\ 0 \end{pmatrix} = \frac{1}{2} \begin{pmatrix} 1+i \\ 1-i \end{pmatrix}$ .

En mätning nu ger  $|0\rangle$  och  $|1\rangle$  med samma sannolikhet.

Antag att vi mäter och ser  $|1\rangle$ . Efteråt vet vi att systemet är i tillstånd  $|1\rangle$ .

## Modell – ett exempel

Systemet startar i tillstånd  $|0\rangle$ . Lägg på operatorn  $A = \frac{1}{2} \begin{pmatrix} 1+i & 1-i \\ 1-i & 1+i \end{pmatrix}$ .

Systemet byter tillstånd till  $\frac{1}{2} \begin{pmatrix} 1+i & 1-i \\ 1-i & 1+i \end{pmatrix} \begin{pmatrix} 1 \\ 0 \end{pmatrix} = \frac{1}{2} \begin{pmatrix} 1+i \\ 1-i \end{pmatrix}$ .

En mätning nu ger  $|0\rangle$  och  $|1\rangle$  med samma sannolikhet.

Antag att vi mäter och ser  $|1\rangle$ . Efteråt vet vi att systemet är i tillstånd  $|1\rangle$ .

Använd  $A$  igen; systemet hamnar i tillstånd  $\frac{1-i}{2}|0\rangle + \frac{1+i}{2}|1\rangle$ . Mät igen.

## Modell – ett exempel

Systemet startar i tillstånd  $|0\rangle$ . Lägg på operatorn  $A = \frac{1}{2} \begin{pmatrix} 1+i & 1-i \\ 1-i & 1+i \end{pmatrix}$ .

Systemet byter tillstånd till  $\frac{1}{2} \begin{pmatrix} 1+i & 1-i \\ 1-i & 1+i \end{pmatrix} \begin{pmatrix} 1 \\ 0 \end{pmatrix} = \frac{1}{2} \begin{pmatrix} 1+i \\ 1-i \end{pmatrix}$ .

En mätning nu ger  $|0\rangle$  och  $|1\rangle$  med samma sannolikhet.

Antag att vi mäter och ser  $|1\rangle$ . Efteråt vet vi att systemet är i tillstånd  $|1\rangle$ .

Använd  $A$  igen; systemet hamnar i tillstånd  $\frac{1-i}{2}|0\rangle + \frac{1+i}{2}|1\rangle$ . Mät igen.

Mätningen ger  $|0\rangle$  och  $|1\rangle$  med samma sannolikhet.

## Modell – ett liknande exempel

Samma början: Vi startar i  $|0\rangle$  och kör operatorn  $A = \frac{1}{2} \begin{pmatrix} 1+i & 1-i \\ 1-i & 1+i \end{pmatrix}$ .

## Modell – ett liknande exempel

Samma början: Vi startar i  $|0\rangle$  och kör operatorn  $A = \frac{1}{2} \begin{pmatrix} 1+i & 1-i \\ 1-i & 1+i \end{pmatrix}$ .

Systemet byter tillstånd till  $\frac{1}{2} \begin{pmatrix} 1+i & 1-i \\ 1-i & 1+i \end{pmatrix} \begin{pmatrix} 1 \\ 0 \end{pmatrix} = \frac{1}{2} \begin{pmatrix} 1+i \\ 1-i \end{pmatrix}$ .

## Modell – ett liknande exempel

Samma början: Vi startar i  $|0\rangle$  och kör operatorn  $A = \frac{1}{2} \begin{pmatrix} 1+i & 1-i \\ 1-i & 1+i \end{pmatrix}$ .

Systemet byter tillstånd till  $\frac{1}{2} \begin{pmatrix} 1+i & 1-i \\ 1-i & 1+i \end{pmatrix} \begin{pmatrix} 1 \\ 0 \end{pmatrix} = \frac{1}{2} \begin{pmatrix} 1+i \\ 1-i \end{pmatrix}$ .

Men nu kör vi  $A$  igen; Då hamnar vi i  $\frac{1}{2} \begin{pmatrix} 1+i & 1-i \\ 1-i & 1+i \end{pmatrix} \frac{1}{2} \begin{pmatrix} 1+i \\ 1-i \end{pmatrix} = \begin{pmatrix} 0 \\ 1 \end{pmatrix}$ .

## Modell – ett liknande exempel

Samma början: Vi startar i  $|0\rangle$  och kör operatorn  $A = \frac{1}{2} \begin{pmatrix} 1+i & 1-i \\ 1-i & 1+i \end{pmatrix}$ .

Systemet byter tillstånd till  $\frac{1}{2} \begin{pmatrix} 1+i & 1-i \\ 1-i & 1+i \end{pmatrix} \begin{pmatrix} 1 \\ 0 \end{pmatrix} = \frac{1}{2} \begin{pmatrix} 1+i \\ 1-i \end{pmatrix}$ .

Men nu kör vi  $A$  igen; Då hamnar vi i  $\frac{1}{2} \begin{pmatrix} 1+i & 1-i \\ 1-i & 1+i \end{pmatrix} \frac{1}{2} \begin{pmatrix} 1+i \\ 1-i \end{pmatrix} = \begin{pmatrix} 0 \\ 1 \end{pmatrix}$ .

En mätning nu ger  $|1\rangle$  med sannolikhet ett.

## Modell – fler bitar

Vi behöver fler bitar än en. Bastillständen blir då  $|b\rangle$  för binära strängar  $b$ .

Systemets tillstånd skrivs  $\sum \alpha_b |b\rangle$  där  $\sum \|\alpha_b\|^2 = 1$ .

Vid mätning ser vi  $|b\rangle$  med sannolikhet  $\|\alpha_b\|^2$ .

Efter en mätning kollapsar systemet till det tillstånd vi såg.

# Feynmans motivering av kvantberäkningar

Hur många bastillstånd finns det?

Två bitar:  $|00\rangle, |01\rangle, |10\rangle, |11\rangle$ .

Tre bitar:  $|000\rangle, |001\rangle, |010\rangle, |011\rangle, |100\rangle, |101\rangle, |110\rangle, |111\rangle$ .

$n$  bitar:  $2^n$  bastillstånd!

## Feynmans motivering av kvantberäkningar

Hur många bastillstånd finns det?

Två bitar:  $|00\rangle, |01\rangle, |10\rangle, |11\rangle$ .

Tre bitar:  $|000\rangle, |001\rangle, |010\rangle, |011\rangle, |100\rangle, |101\rangle, |110\rangle, |111\rangle$ .

$n$  bitar:  $2^n$  bastillstånd!

Det tar exponentiell tid att simulera ett  $n$ -bitarsystem klassiskt.

Så kanske ger kvantberäkningar en exponentiell uppsnabbing?

## Modell – operationer på två bitar

Operationer definieras, som tidigare, som unitära matriser.

Vilken transformation definieras av  $\begin{pmatrix} 1 & 0 & 0 & 0 \\ 0 & 1 & 0 & 0 \\ 0 & 0 & 0 & 1 \\ 0 & 0 & 1 & 0 \end{pmatrix}$  ?

$$\alpha_{00}|00\rangle + \alpha_{01}|01\rangle + \alpha_{10}|10\rangle + \alpha_{11}|11\rangle \mapsto \alpha_{00}|00\rangle + \alpha_{01}|01\rangle + \alpha_{11}|10\rangle + \alpha_{10}|11\rangle.$$

## Modell – operationer på två bitar

Operationer definieras, som tidigare, som unitära matriser.

Vilken transformation definieras av  $\begin{pmatrix} 1 & 0 & 0 & 0 \\ 0 & 1 & 0 & 0 \\ 0 & 0 & 0 & 1 \\ 0 & 0 & 1 & 0 \end{pmatrix}$  ?

$$\alpha_{00}|00\rangle + \alpha_{01}|01\rangle + \alpha_{10}|10\rangle + \alpha_{11}|11\rangle \mapsto \alpha_{00}|00\rangle + \alpha_{01}|01\rangle + \alpha_{11}|10\rangle + \alpha_{10}|11\rangle.$$

Om den första biten är noll ändras inte den andra biten.

Om den första biten är ett negeras den andra biten.

## Modell – sammanfattning

Information lagras som en vektor i ett komplext vektorrum.

Vektorrummet har  $2^n$  dimensioner om vi har  $n$  kvantbitar.

Programmet består av unitära operationer på högst två kvantbitar åt gången.

Mått på komplexitet: Antal sådana operationer.

Vi får resultatet genom att mäta.

Vi ser  $|b\rangle$  med sannolikhet  $\|\text{koefficienten framför } |b\rangle\|^2$ .

En mätning gör att vågfunktionen kollapsar.

# Är modellen användbar?

Vad klarar vi av att göra i kvantmodellen?

## Är modellen användbar?

Vad klarar vi av att göra i kvantmodellen?

Alla kvantberäkningar är reversibla; de kan alltså köras baklänges.

Därför finns inte operationer av typen "sätt  $x$  till 17".

## Är modellen användbar?

Vad klarar vi av att göra i kvantmodellen?

Alla kvantberäkningar är reversibla; de kan alltså köras baklänges.

Därför finns inte operationer av typen "sätt  $x$  till 17".

Trots detta kan alla deterministiska beräkningar simuleras.

Huvudidé: NAND-grindar är universella; det räcker alltså att simulera dem.

$$[\text{NAND}(x_1, x_2) = \neg(x_1 \wedge x_2).]$$

NAND-grindar kan simuleras reversibelt om man behåller indata.

# Faktorisering

Vi vill dela upp  $N$ , ett tal med  $n$  bitar, i primfaktorer.

# Faktorisering

Vi vill dela upp  $N$ , ett tal med  $n$  bitar, i primfaktorer.

Välj ett slumpvis  $x$  och låt  $r$  vara dess ordning mod  $N$ ;  $x^r \equiv 1 \pmod{N}$ .

Det är känt att  $\gcd(x^{r/2} - 1, N)$  ofta är en icke-trivial faktor.

## Faktorisering

Vi vill dela upp  $N$ , ett tal med  $n$  bitar, i primfaktorer.

Välj ett slumpvis  $x$  och låt  $r$  vara dess ordning mod  $N$ ;  $x^r \equiv 1 \pmod{N}$ .

Det är känt att  $\gcd(x^{r/2} - 1, N)$  ofta är en icke-trivial faktor.

Så om vi kan beräkna ordningen mod  $N$  så kan vi även faktorisera  $N$ .

Shors algoritm beräknar ordningen mod  $N$  i polynomisk tid.

## Faktorisering

Vi vill dela upp  $N$ , ett tal med  $n$  bitar, i primfaktorer.

Välj ett slumpvis  $x$  och låt  $r$  vara dess ordning mod  $N$ ;  $x^r \equiv 1 \pmod{N}$ .

Det är känt att  $\gcd(x^{r/2} - 1, N)$  ofta är en icke-trivial faktor.

Så om vi kan beräkna ordningen mod  $N$  så kan vi även faktorisera  $N$ .

Shors algoritm beräknar ordningen mod  $N$  i polynomisk tid, dvs  
antalet operationer är polynomiskt i  $n$ .

# Översikt av algoritmen

Shors algoritm har tre faser:

1. Konvertera  $|0\rangle$  till en likformig fördelning.

# Översikt av algoritmen

Shors algoritm har tre faser:

1. Konvertera  $|0\rangle$  till en likformig fördelning.

Kan göras genom att köra  $\frac{1}{\sqrt{2}} \begin{pmatrix} 1 & -1 \\ 1 & 1 \end{pmatrix}$  på varje kvantbit.

# Översikt av algoritmen

Shors algoritm har tre faser:

1. Konvertera  $|0\rangle$  till en likformig fördelning.

Kan göras genom att köra  $\frac{1}{\sqrt{2}} \begin{pmatrix} 1 & -1 \\ 1 & 1 \end{pmatrix}$  på varje kvantbit.

2. Beräkna  $x^a \bmod N$  givet  $x$ ,  $a$  och  $N$ .

# Översikt av algoritmen

Shors algoritm har tre faser:

1. Konvertera  $|0\rangle$  till en likformig fördelning.

Kan göras genom att köra  $\frac{1}{\sqrt{2}} \begin{pmatrix} 1 & -1 \\ 1 & 1 \end{pmatrix}$  på varje kvantbit.

2. Beräkna  $x^a \bmod N$  givet  $x$ ,  $a$  och  $N$ . Går att göra om vi behåller indata.

# Översikt av algoritmen

Shors algoritm har tre faser:

1. Konvertera  $|0\rangle$  till en likformig fördelning.

Kan göras genom att köra  $\frac{1}{\sqrt{2}} \begin{pmatrix} 1 & -1 \\ 1 & 1 \end{pmatrix}$  på varje kvantbit.

2. Beräkna  $x^a \bmod N$  givet  $x$ ,  $a$  och  $N$ . Går att göra om vi behåller indata.

3. Beräkna fouriertransformen av  $a$ :  $|a\rangle \mapsto 2^{-m/2} \sum_{c=0}^{2^m-1} \omega^{ac} |c\rangle$  där  $\omega = e^{2\pi i / 2^m}$ .

# Översikt av algoritmen

Shors algoritm har tre faser:

1. Konvertera  $|0\rangle$  till en likformig fördelning.

Kan göras genom att köra  $\frac{1}{\sqrt{2}} \begin{pmatrix} 1 & -1 \\ 1 & 1 \end{pmatrix}$  på varje kvantbit.

2. Beräkna  $x^a \bmod N$  givet  $x$ ,  $a$  och  $N$ . Går att göra om vi behåller indata.

3. Beräkna fouriertransformen av  $a$ :  $|a\rangle \mapsto 2^{-m/2} \sum_{c=0}^{2^m-1} \omega^{ac} |c\rangle$  där  $\omega = e^{2\pi i / 2^m}$ .

Antag tillsvidare att detta går att göra.

## **Mer detaljerad version av algoritmen**

Givet  $x$  and  $N$  vill vi beräkna ordningen av  $x$  mod  $N$ .  $N$  består av  $n$  bitar.

1. Skapa  $a$  genom att skapa  $m = 3n$  likafördelade slumpbitar.

Tillstånd:  $2^{-m/2} \sum_{a=0}^{2^m-1} |a\rangle|x\rangle|N\rangle$

## Mer detaljerad version av algoritmen

Givet  $x$  and  $N$  vill vi beräkna ordningen av  $x$  mod  $N$ .  $N$  består av  $n$  bitar.

1. Skapa  $a$  genom att skapa  $m = 3n$  likafördelade slumpbitar.

Tillstånd:  $2^{-m/2} \sum_{a=0}^{2^m-1} |a\rangle|x\rangle|N\rangle$

2. Beräkna  $x^a \bmod N$ . Tillstånd:  $2^{-m/2} \sum_{a=0}^{2^m-1} |x^a\rangle|a\rangle|x\rangle|N\rangle$

## Mer detaljerad version av algoritmen

Givet  $x$  and  $N$  vill vi beräkna ordningen av  $x$  mod  $N$ .  $N$  består av  $n$  bitar.

1. Skapa  $a$  genom att skapa  $m = 3n$  likafördelade slumpbitar.

Tillstånd:  $2^{-m/2} \sum_{a=0}^{2^m-1} |a\rangle|x\rangle|N\rangle$

2. Beräkna  $x^a \bmod N$ . Tillstånd:  $2^{-m/2} \sum_{a=0}^{2^m-1} |x^a\rangle|a\rangle|x\rangle|N\rangle$

3. Fouriertransformera  $a$ .  $|a\rangle \mapsto 2^{-m/2} \sum_{c=0}^{2^m-1} \omega^{ac}|c\rangle$

## Mer detaljerad version av algoritmen

Givet  $x$  and  $N$  vill vi beräkna ordningen av  $x$  mod  $N$ .  $N$  består av  $n$  bitar.

1. Skapa  $a$  genom att skapa  $m = 3n$  likafördelade slumpbitar.

Tillstånd:  $2^{-m/2} \sum_{a=0}^{2^m-1} |a\rangle|x\rangle|N\rangle$

2. Beräkna  $x^a \bmod N$ . Tillstånd:  $2^{-m/2} \sum_{a=0}^{2^m-1} |x^a\rangle|a\rangle|x\rangle|N\rangle$

3. Fouriertransformera  $a$ . Tillstånd:  $2^{-m} \sum_{a=0}^{2^m-1} \sum_{c=0}^{2^m-1} \omega^{ac} |x^a\rangle|c\rangle|x\rangle|N\rangle$

## Mer detaljerad version av algoritmen

Givet  $x$  and  $N$  vill vi beräkna ordningen av  $x$  mod  $N$ .  $N$  består av  $n$  bitar.

1. Skapa  $a$  genom att skapa  $m = 3n$  likafördelade slumpbitar.

Tillstånd:  $2^{-m/2} \sum_{a=0}^{2^m-1} |a\rangle|x\rangle|N\rangle$

2. Beräkna  $x^a \bmod N$ . Tillstånd:  $2^{-m/2} \sum_{a=0}^{2^m-1} |x^a\rangle|a\rangle|x\rangle|N\rangle$

3. Fouriertransformera  $a$ . Tillstånd:  $2^{-m} \sum_{a=0}^{2^m-1} \sum_{c=0}^{2^m-1} \omega^{ac} |x^a\rangle|c\rangle|x\rangle|N\rangle$

4. Mät tillståndet och beräkna  $r$  givet observationen av  $c$ .

## Analys av algoritmen – intuition

Tillstånd när vi mäter:  $2^{-m} \sum_{c=0}^{2^m-1} \sum_{a=0}^{2^m-1} \omega^{ac} |x^a\rangle |c\rangle |x\rangle |N\rangle$

Vad är sannolikheten att se ett visst  $|x^k\rangle |c\rangle |x\rangle |N\rangle$ ?

## Analys av algoritmen – intuition

Tillstånd när vi mäter:  $2^{-m} \sum_{c=0}^{2^m-1} \sum_{a=0}^{2^m-1} \omega^{ac} |x^a\rangle |c\rangle |x\rangle |N\rangle$

Vad är sannolikheten att se ett visst  $|x^k\rangle |c\rangle |x\rangle |N\rangle$ ?

Eftersom  $x^k \equiv x^{k+r} \equiv x^{k+2r} \equiv \dots$  bidrar flera  $a$  till samma  $|x^k\rangle |c\rangle |x\rangle |N\rangle$ .

## Analys av algoritmen – intuition

Tillstånd när vi mäter:  $2^{-m} \sum_{c=0}^{2^m-1} \sum_{a=0}^{2^m-1} \omega^{ac} |x^a\rangle |c\rangle |x\rangle |N\rangle$

Vad är sannolikheten att se ett visst  $|x^k\rangle |c\rangle |x\rangle |N\rangle$ ?

Eftersom  $x^k \equiv x^{k+r} \equiv x^{k+2r} \equiv \dots$  bidrar flera  $a$  till samma  $|x^k\rangle |c\rangle |x\rangle |N\rangle$ .

$$\Pr[|x^k\rangle |c\rangle |x\rangle |N\rangle] = 2^{-2m} \left\| \sum_{a: x^a \equiv x^k} \omega^{ac} \right\|^2$$

## Analys av algoritmen – intuition

Tillstånd när vi mäter:  $2^{-m} \sum_{c=0}^{2^m-1} \sum_{a=0}^{2^m-1} \omega^{ac} |x^a\rangle |c\rangle |x\rangle |N\rangle$

Vad är sannolikheten att se ett visst  $|x^k\rangle |c\rangle |x\rangle |N\rangle$ ?

Eftersom  $x^k \equiv x^{k+r} \equiv x^{k+2r} \equiv \dots$  bidrar flera  $a$  till samma  $|x^k\rangle |c\rangle |x\rangle |N\rangle$ .

$$\Pr[|x^k\rangle |c\rangle |x\rangle |N\rangle] = 2^{-2m} \left\| \sum_{a: x^a \equiv x^k} \omega^{ac} \right\|^2 = 2^{-2m} \left\| \sum_j \omega^{(k+jr)c} \right\|^2$$

## Analys av algoritmen – intuition

Tillstånd när vi mäter:  $2^{-m} \sum_{c=0}^{2^m-1} \sum_{a=0}^{2^m-1} \omega^{ac} |x^a\rangle |c\rangle |x\rangle |N\rangle$

Vad är sannolikheten att se ett visst  $|x^k\rangle |c\rangle |x\rangle |N\rangle$ ?

Eftersom  $x^k \equiv x^{k+r} \equiv x^{k+2r} \equiv \dots$  bidrar flera  $a$  till samma  $|x^k\rangle |c\rangle |x\rangle |N\rangle$ .

$$\Pr[|x^k\rangle |c\rangle |x\rangle |N\rangle] = 2^{-2m} \left\| \sum_{a: x^a \equiv x^k} \omega^{ac} \right\|^2 = 2^{-2m} \left\| \sum_j \omega^{kc} \omega^{jrc} \right\|^2$$

## Analys av algoritmen – intuition

Tillstånd när vi mäter:  $2^{-m} \sum_{c=0}^{2^m-1} \sum_{a=0}^{2^m-1} \omega^{ac} |x^a\rangle |c\rangle |x\rangle |N\rangle$

Vad är sannolikheten att se ett visst  $|x^k\rangle |c\rangle |x\rangle |N\rangle$ ?

Eftersom  $x^k \equiv x^{k+r} \equiv x^{k+2r} \equiv \dots$  bidrar flera  $a$  till samma  $|x^k\rangle |c\rangle |x\rangle |N\rangle$ .

$$\Pr[|x^k\rangle |c\rangle |x\rangle |N\rangle] = 2^{-2m} \left\| \sum_{a: x^a \equiv x^k} \omega^{ac} \right\|^2 = 2^{-2m} \left\| \omega^{kc} \sum_j \omega^{jrc} \right\|^2$$

## Analys av algoritmen – intuition

Tillstånd när vi mäter:  $2^{-m} \sum_{c=0}^{2^m-1} \sum_{a=0}^{2^m-1} \omega^{ac} |x^a\rangle |c\rangle |x\rangle |N\rangle$

Vad är sannolikheten att se ett visst  $|x^k\rangle |c\rangle |x\rangle |N\rangle$ ?

Eftersom  $x^k \equiv x^{k+r} \equiv x^{k+2r} \equiv \dots$  bidrar flera  $a$  till samma  $|x^k\rangle |c\rangle |x\rangle |N\rangle$ .

$$\Pr[|x^k\rangle |c\rangle |x\rangle |N\rangle] = 2^{-2m} \left\| \sum_{a: x^a \equiv x^k} \omega^{ac} \right\|^2 = 2^{-2m} \left\| \sum_j (\omega^{rc})^j \right\|^2.$$

När är denna summa stor?

## Analys av algoritmen – intuition

Tillstånd när vi mäter:  $2^{-m} \sum_{c=0}^{2^m-1} \sum_{a=0}^{2^m-1} \omega^{ac} |x^a\rangle |c\rangle |x\rangle |N\rangle$

Vad är sannolikheten att se ett visst  $|x^k\rangle |c\rangle |x\rangle |N\rangle$ ?

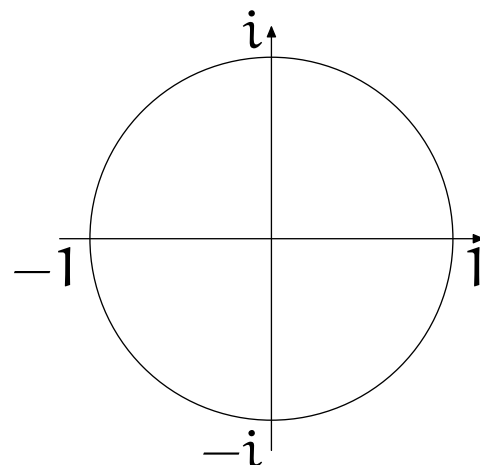
Eftersom  $x^k \equiv x^{k+r} \equiv x^{k+2r} \equiv \dots$  bidrar flera  $a$  till samma  $|x^k\rangle |c\rangle |x\rangle |N\rangle$ .

$$\Pr[|x^k\rangle |c\rangle |x\rangle |N\rangle] = 2^{-2m} \left\| \sum_{a: x^a \equiv x^k} \omega^{ac} \right\|^2 = 2^{-2m} \left\| \sum_j (\omega^{rc})^j \right\|^2.$$

När är denna summa stor? Studera  $\left\| \sum_j (\omega^{rc})^j \right\|$ .

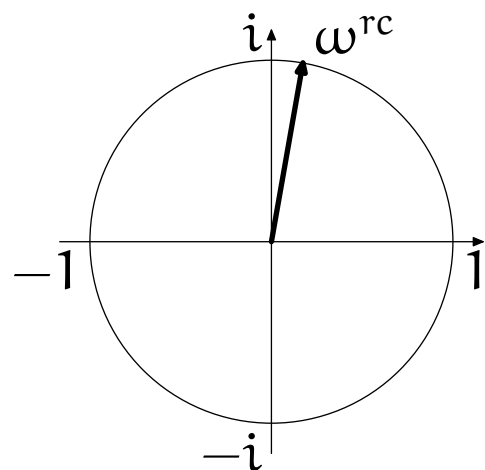
## Analys av algoritmen – summar av enhetsrötter

När är  $\left\| \sum_j (\omega^{rc})^j \right\|$  stort? ( $\omega$  komplext tal med norm 1.)



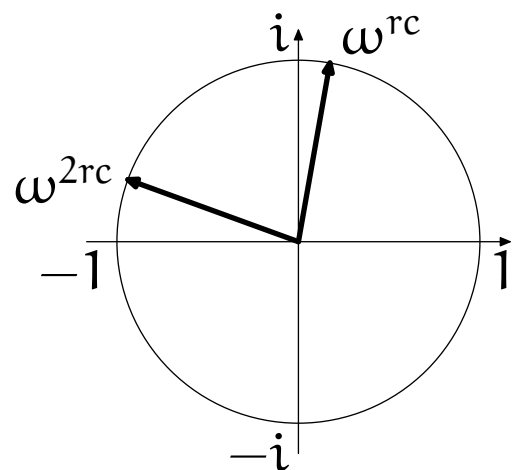
## Analys av algoritmen – summar av enhetsrötter

När är  $\left\| \sum_j (\omega^{rc})^j \right\|$  stort? ( $\omega$  komplext tal med norm 1.)



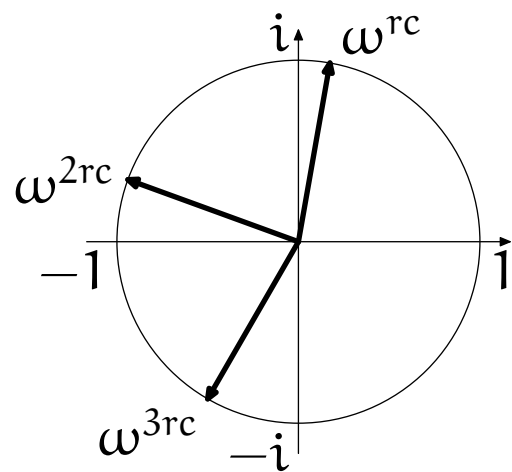
## Analys av algoritmen – summar av enhetsrötter

När är  $\left\| \sum_j (\omega^{rc})^j \right\|$  stort? ( $\omega$  komplext tal med norm 1.)



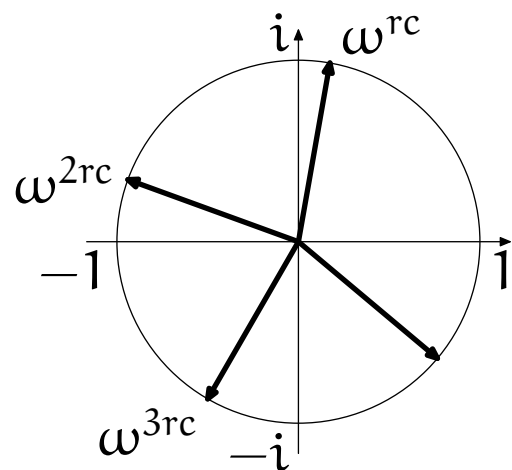
## Analys av algoritmen – summar av enhetsrötter

När är  $\left\| \sum_j (\omega^{rc})^j \right\|$  stort? ( $\omega$  komplext tal med norm 1.)



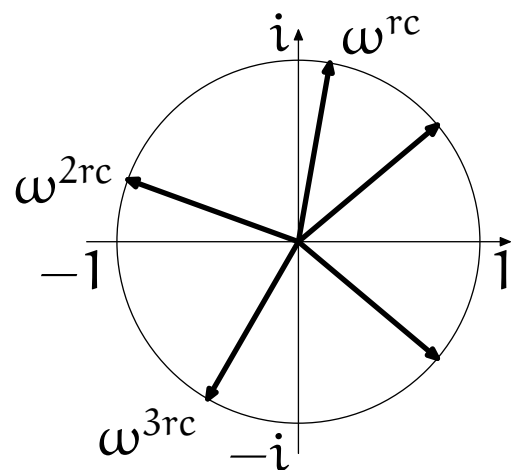
## Analys av algoritmen – summar av enhetsrötter

När är  $\left\| \sum_j (\omega^{rc})^j \right\|$  stort? ( $\omega$  komplext tal med norm 1.)



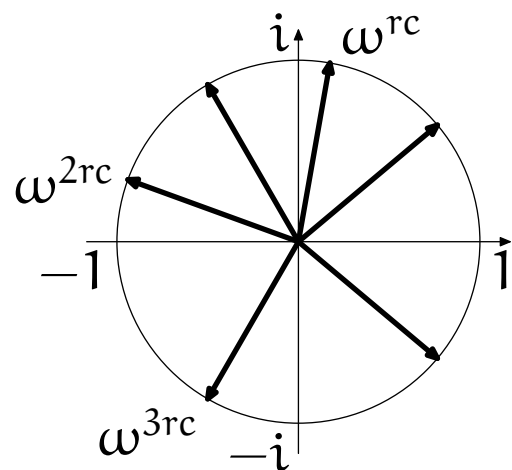
## Analys av algoritmen – summar av enhetsrötter

När är  $\left\| \sum_j (\omega^{rc})^j \right\|$  stort? ( $\omega$  komplext tal med norm 1.)



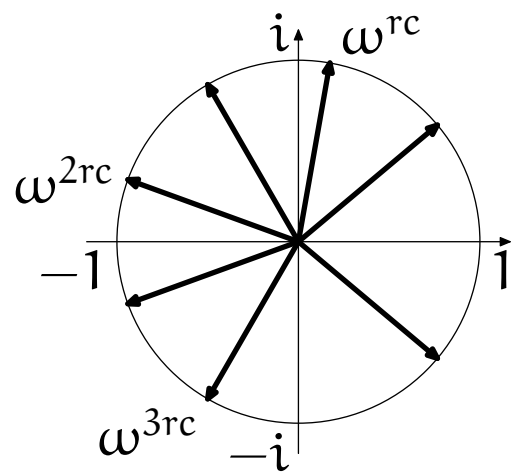
## Analys av algoritmen – summar av enhetsrötter

När är  $\left\| \sum_j (\omega^{rc})^j \right\|$  stort? ( $\omega$  komplext tal med norm 1.)



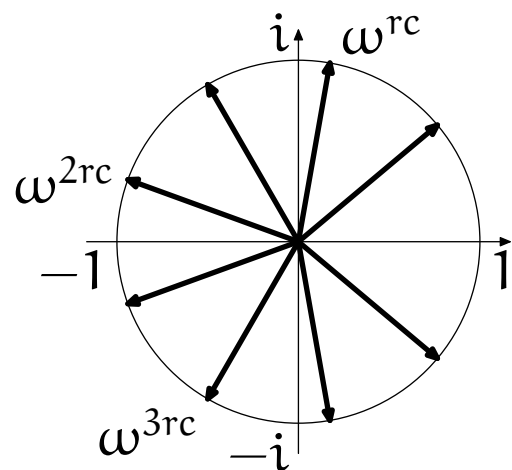
## Analys av algoritmen – summar av enhetsrötter

När är  $\left\| \sum_j (\omega^{rc})^j \right\|$  stort? ( $\omega$  komplext tal med norm 1.)



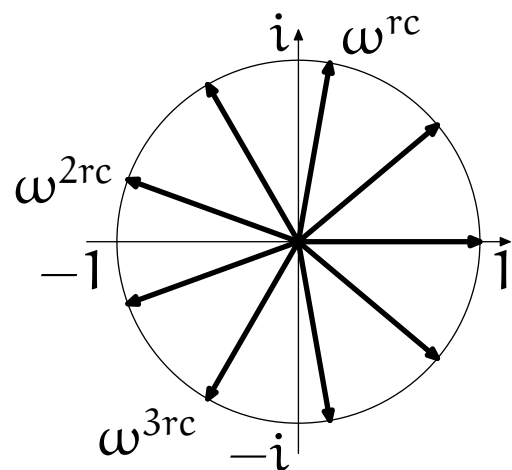
## Analys av algoritmen – summar av enhetsrötter

När är  $\left\| \sum_j (\omega^{rc})^j \right\|$  stort? ( $\omega$  komplext tal med norm 1.)



## Analys av algoritmen – summar av enhetsrötter

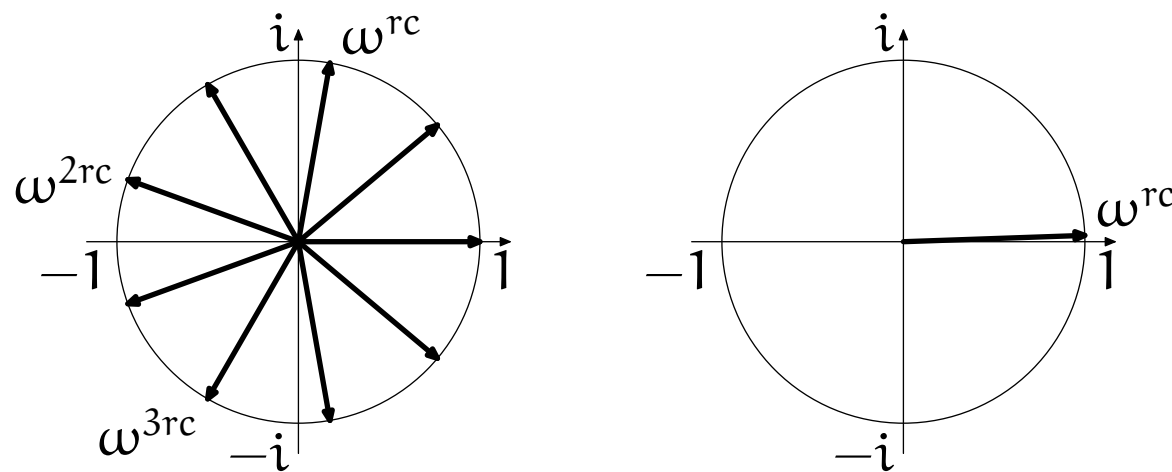
När är  $\left\| \sum_j (\omega^{rc})^j \right\|$  stort? ( $\omega$  komplext tal med norm 1.)



$\left\| \sum_j (\omega^{rc})^j \right\| =$  längden av summan av ovanstående vektorer.

## Analys av algoritmen – summar av enhetsrötter

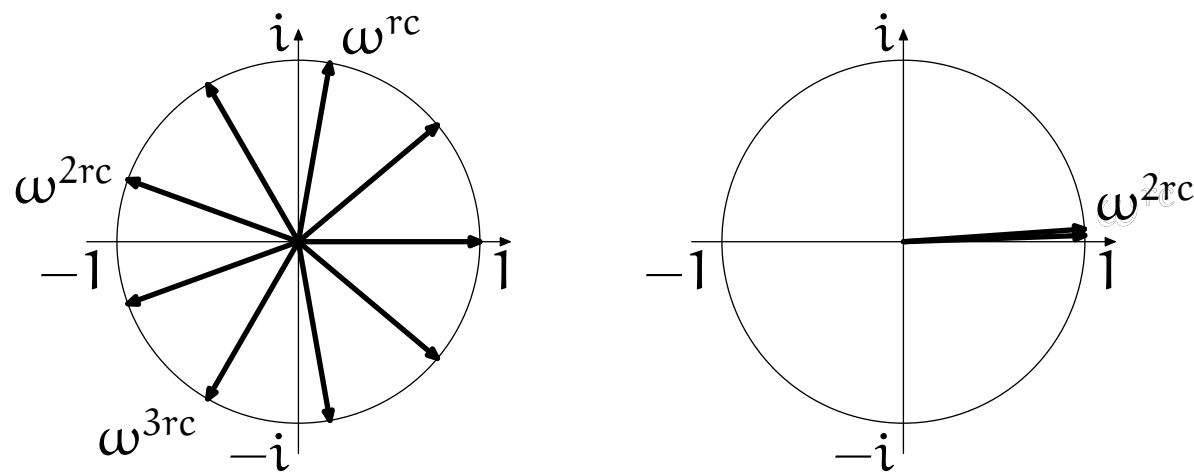
När är  $\left\| \sum_j (\omega^{rc})^j \right\|$  stort? ( $\omega$  komplext tal med norm 1.)



$\left\| \sum_j (\omega^{rc})^j \right\| =$  längden av summan av ovanstående vektorer.

## Analys av algoritmen – summar av enhetsrötter

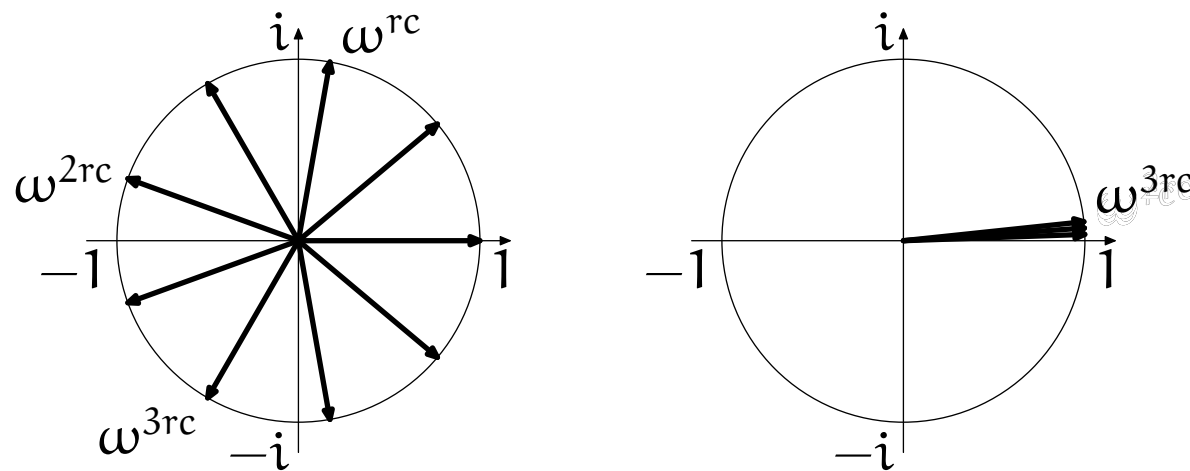
När är  $\left\| \sum_j (\omega^{rc})^j \right\|$  stort? ( $\omega$  komplext tal med norm 1.)



$\left\| \sum_j (\omega^{rc})^j \right\| =$  längden av summan av ovanstående vektorer.

## Analys av algoritmen – summar av enhetsrötter

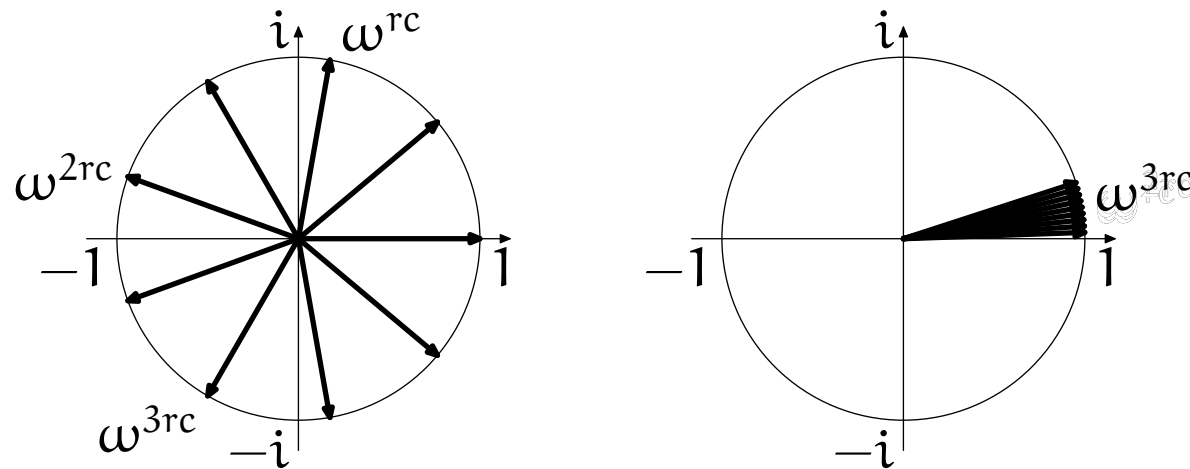
När är  $\left\| \sum_j (\omega^{rc})^j \right\|$  stort? ( $\omega$  komplext tal med norm 1.)



$\left\| \sum_j (\omega^{rc})^j \right\| =$  längden av summan av ovanstående vektorer.

## Analys av algoritmen – summar av enhetsrötter

När är  $\left\| \sum_j (\omega^{rc})^j \right\|$  stort? ( $\omega$  komplext tal med norm 1.)



$\left\| \sum_j (\omega^{rc})^j \right\| =$  längden av summan av ovanstående vektorer.

## Analys av algoritmen – sammanfattning

Tillstånd när vi mäter:  $2^{-m} \sum_{c=0}^{2^m-1} \sum_{a=0}^{2^m-1} \omega^{ac} |x^a\rangle |c\rangle |x\rangle |N\rangle$

$$\Pr[|x^k\rangle |c\rangle |x\rangle |N\rangle] = 2^{-2m} \left\| \sum_{a: x^a \equiv x^k} \omega^{ac} \right\|^2 = 2^{-2m} \left\| \sum_j (\omega^{rc})^j \right\|^2.$$

Stort om  $\omega^{rc}$  är nära 1, dvs om  $e^{2\pi i rc/2^m}$  är nära 1.

## Analys av algoritmen – sammanfattning

Tillstånd när vi mäter:  $2^{-m} \sum_{c=0}^{2^m-1} \sum_{a=0}^{2^m-1} \omega^{ac} |x^a\rangle |c\rangle |x\rangle |N\rangle$

$$\Pr[|x^k\rangle |c\rangle |x\rangle |N\rangle] = 2^{-2m} \left\| \sum_{a: x^a \equiv x^k} \omega^{ac} \right\|^2 = 2^{-2m} \left\| \sum_j (\omega^{rc})^j \right\|^2.$$

Stort om  $\omega^{rc}$  är nära 1, dvs om  $e^{2\pi i rc/2^m}$  är nära 1, dvs om  $rc/2^m$  är nästan ett heltal.

## Analys av algoritmen – sammanfattning

Tillstånd när vi mäter:  $2^{-m} \sum_{c=0}^{2^m-1} \sum_{a=0}^{2^m-1} \omega^{ac} |x^a\rangle |c\rangle |x\rangle |N\rangle$

$$\Pr[|x^k\rangle |c\rangle |x\rangle |N\rangle] = 2^{-2m} \left\| \sum_{a: x^a \equiv x^k} \omega^{ac} \right\|^2 = 2^{-2m} \left\| \sum_j (\omega^{rc})^j \right\|^2.$$

Stort om  $\omega^{rc}$  är nära 1, dvs om  $e^{2\pi i rc/2^m}$  är nära 1, dvs om  $rc/2^m$  är nästan ett heltal, dvs om  $c2^{-m}$  är nära  $d/r$  för något heltal  $d$ .

## Analys av algoritmen – sammanfattning

Tillstånd när vi mäter:  $2^{-m} \sum_{c=0}^{2^m-1} \sum_{a=0}^{2^m-1} \omega^{ac} |x^a\rangle |c\rangle |x\rangle |N\rangle$

$$\Pr[|x^k\rangle |c\rangle |x\rangle |N\rangle] = 2^{-2m} \left\| \sum_{a: x^a \equiv x^k} \omega^{ac} \right\|^2 = 2^{-2m} \left\| \sum_j (\omega^{rc})^j \right\|^2.$$

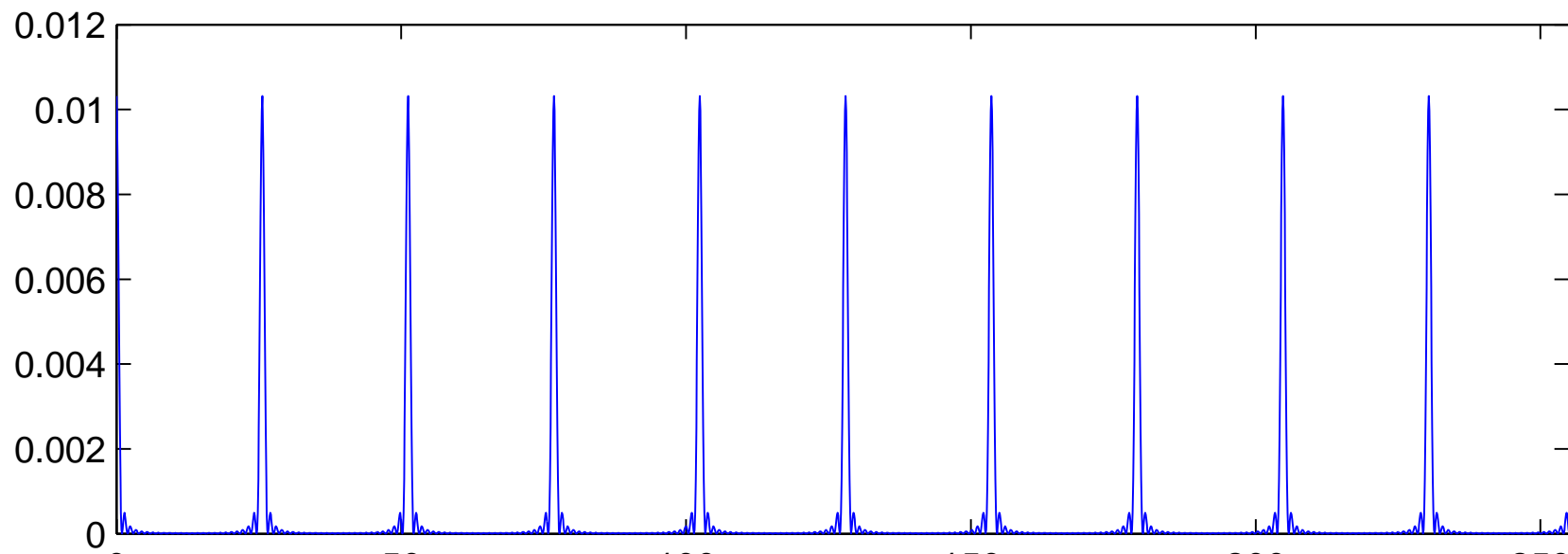
Stort om  $\omega^{rc}$  är nära 1, dvs om  $e^{2\pi i rc/2^m}$  är nära 1, dvs om  $rc/2^m$  är nästan ett heltal, dvs om  $c2^{-m}$  är nära  $d/r$  för något heltal  $d$ .

Vi observerar  $c$  och vet  $m$ , så vi får en approximation till  $d/r$ .

Om approximationen är bra kan vi beräkna  $d$  och  $r$ .

## Analys av algoritmen – sannolikheten att se ett visst $c$

Figuren nedan visar  $\Pr[c]$  då  $r = 10$  och  $m = 8$ .



Med hög sannolikhet är  $\left\| \frac{c}{2^m} - \frac{d}{r} \right\| \leq \frac{1}{2^{m+1}}$ ; detta räcker.

# Fouriertransformen

Vi vill implementera  $|a\rangle \mapsto 2^{-m/2} \sum_{c=0}^{2^m-1} e^{2\pi i ac/2^m} |c\rangle$

## Fouriertransformen

Vi vill implementera  $|a\rangle \mapsto 2^{-m/2} \sum_{c=0}^{2^m-1} e^{2\pi i ac/2^m} |c\rangle$

En kvantbit:  $|a\rangle \mapsto \frac{1}{\sqrt{2}} \sum_{c=0}^1 e^{2\pi i ac/2} |c\rangle = \frac{1}{\sqrt{2}} \sum_{c=0}^1 (-1)^{ac} |c\rangle$

## Fouriertransformen

Vi vill implementera  $|a\rangle \mapsto 2^{-m/2} \sum_{c=0}^{2^m-1} e^{2\pi i ac/2^m} |c\rangle$

En kvantbit:  $|a\rangle \mapsto \frac{1}{\sqrt{2}} \sum_{c=0}^1 e^{2\pi i ac/2} |c\rangle = \frac{1}{\sqrt{2}} \sum_{c=0}^1 (-1)^{ac} |c\rangle$

$|0\rangle \mapsto \frac{1}{\sqrt{2}}(|0\rangle + |1\rangle);$

## Fouriertransformen

Vi vill implementera  $|a\rangle \mapsto 2^{-m/2} \sum_{c=0}^{2^m-1} e^{2\pi i ac/2^m} |c\rangle$

En kvantbit:  $|a\rangle \mapsto \frac{1}{\sqrt{2}} \sum_{c=0}^1 e^{2\pi i ac/2} |c\rangle = \frac{1}{\sqrt{2}} \sum_{c=0}^1 (-1)^{ac} |c\rangle$

$$|0\rangle \mapsto \frac{1}{\sqrt{2}}(|0\rangle + |1\rangle); \quad |1\rangle \mapsto \frac{1}{\sqrt{2}}(|0\rangle - |1\rangle)$$

## Fouriertransformen

Vi vill implementera  $|a\rangle \mapsto 2^{-m/2} \sum_{c=0}^{2^m-1} e^{2\pi i ac/2^m} |c\rangle$

En kvantbit:  $|a\rangle \mapsto \frac{1}{\sqrt{2}} \sum_{c=0}^1 e^{2\pi i ac/2} |c\rangle = \frac{1}{\sqrt{2}} \sum_{c=0}^1 (-1)^{ac} |c\rangle$

$$|0\rangle \mapsto \frac{1}{\sqrt{2}}(|0\rangle + |1\rangle); \quad |1\rangle \mapsto \frac{1}{\sqrt{2}}(|0\rangle - |1\rangle)$$

Detta kan göras med rotationen  $R = \frac{1}{\sqrt{2}} \begin{pmatrix} 1 & 1 \\ 1 & -1 \end{pmatrix}$

## Fouriertransformen av två kvantbitar – verktyg

Vi vill implementera  $|a\rangle \mapsto \frac{1}{2} \sum_{c=0}^3 e^{2\pi i ac/4} |c\rangle = \frac{1}{2} \sum_{c=0}^3 i^{ac} |c\rangle$ .

Vi kommer att behöva rotationerna från enbitsfallet:  $R_k$  roterar bit  $k$ .

Vi kommer också att behöva byta fas:  $S = \begin{pmatrix} 1 & 0 & 0 & 0 \\ 0 & 1 & 0 & 0 \\ 0 & 0 & 1 & 0 \\ 0 & 0 & 0 & i \end{pmatrix}$

## Fouriertransformen av två kvantbitar – verktyg

Vi vill implementera  $|a\rangle \mapsto \frac{1}{2} \sum_{c=0}^3 e^{2\pi i ac/4} |c\rangle = \frac{1}{2} \sum_{c=0}^3 i^{ac} |c\rangle$ .

Vi kommer att behöva rotationerna från enbitsfallet:  $R_k$  roterar bit  $k$ .

Vi kommer också att behöva byta fas:  $S = \begin{pmatrix} 1 & 0 & 0 & 0 \\ 0 & 1 & 0 & 0 \\ 0 & 0 & 1 & 0 \\ 0 & 0 & 0 & i \end{pmatrix}$

$\alpha_{00}|00\rangle + \alpha_{01}|01\rangle + \alpha_{10}|10\rangle + \alpha_{11}|11\rangle \mapsto \alpha_{00}|00\rangle + \alpha_{01}|01\rangle + \alpha_{10}|10\rangle + i\alpha_{11}|11\rangle$ .

## **Fouriertransformen av två kvantbitar – intuition**

Vi vill implementera  $|a\rangle \mapsto \frac{1}{2} \sum_{c=0}^3 e^{2\pi i ac/4} |c\rangle = \frac{1}{2} \sum_{c=0}^3 i^{ac} |c\rangle$ .

## **Fouriertransformen av två kvantbitar – intuition**

Vi vill implementera  $|a\rangle \mapsto \frac{1}{2} \sum_{c=0}^3 e^{2\pi i ac/4} |c\rangle = \frac{1}{2} \sum_{c=0}^3 i^{ac} |c\rangle$ .

$|00\rangle \mapsto$

## Fouriertransformen av två kvantbitar – intuition

Vi vill implementera  $|a\rangle \mapsto \frac{1}{2} \sum_{c=0}^3 e^{2\pi i ac/4} |c\rangle = \frac{1}{2} \sum_{c=0}^3 i^{ac} |c\rangle$ .

$$|00\rangle \mapsto \frac{1}{2}$$

## Fouriertransformen av två kvantbitar – intuition

Vi vill implementera  $|a\rangle \mapsto \frac{1}{2} \sum_{c=0}^3 e^{2\pi i ac/4} |c\rangle = \frac{1}{2} \sum_{c=0}^3 i^{ac} |c\rangle$ .

$$|00\rangle \mapsto \frac{1}{2}(|00\rangle$$

## Fouriertransformen av två kvantbitar – intuition

Vi vill implementera  $|a\rangle \mapsto \frac{1}{2} \sum_{c=0}^3 e^{2\pi i ac/4} |c\rangle = \frac{1}{2} \sum_{c=0}^3 i^{ac} |c\rangle$ .

$$|00\rangle \mapsto \frac{1}{2}(|00\rangle + |01\rangle)$$

## Fouriertransformen av två kvantbitar – intuition

Vi vill implementera  $|a\rangle \mapsto \frac{1}{2} \sum_{c=0}^3 e^{2\pi i ac/4} |c\rangle = \frac{1}{2} \sum_{c=0}^3 i^{ac} |c\rangle$ .

$$|00\rangle \mapsto \frac{1}{2}(|00\rangle + |01\rangle + |10\rangle + |11\rangle)$$

## Fouriertransformen av två kvantbitar – intuition

Vi vill implementera  $|a\rangle \mapsto \frac{1}{2} \sum_{c=0}^3 e^{2\pi i ac/4} |c\rangle = \frac{1}{2} \sum_{c=0}^3 i^{ac} |c\rangle$ .

$$|00\rangle \mapsto \frac{1}{2}(|00\rangle + |01\rangle + |10\rangle + |11\rangle)$$

$$|01\rangle \mapsto \frac{1}{2}(|00\rangle$$

## Fouriertransformen av två kvantbitar – intuition

Vi vill implementera  $|a\rangle \mapsto \frac{1}{2} \sum_{c=0}^3 e^{2\pi i ac/4} |c\rangle = \frac{1}{2} \sum_{c=0}^3 i^{ac} |c\rangle$ .

$$|00\rangle \mapsto \frac{1}{2}(|00\rangle + |01\rangle + |10\rangle + |11\rangle)$$

$$|01\rangle \mapsto \frac{1}{2}(|00\rangle + i|01\rangle - |10\rangle - i|11\rangle)$$

## Fouriertransformen av två kvantbitar – intuition

Vi vill implementera  $|a\rangle \mapsto \frac{1}{2} \sum_{c=0}^3 e^{2\pi i ac/4} |c\rangle = \frac{1}{2} \sum_{c=0}^3 i^{ac} |c\rangle$ .

$$|00\rangle \mapsto \frac{1}{2}(|00\rangle + |01\rangle + |10\rangle + |11\rangle)$$

$$|01\rangle \mapsto \frac{1}{2}(|00\rangle + i|01\rangle - |10\rangle - i|11\rangle)$$

$$|10\rangle \mapsto \frac{1}{2}(|00\rangle$$

## Fouriertransformen av två kvantbitar – intuition

Vi vill implementera  $|a\rangle \mapsto \frac{1}{2} \sum_{c=0}^3 e^{2\pi i ac/4} |c\rangle = \frac{1}{2} \sum_{c=0}^3 i^{ac} |c\rangle$ .

$$|00\rangle \mapsto \frac{1}{2}(|00\rangle + |01\rangle + |10\rangle + |11\rangle)$$

$$|01\rangle \mapsto \frac{1}{2}(|00\rangle + i|01\rangle - |10\rangle - i|11\rangle)$$

$$|10\rangle \mapsto \frac{1}{2}(|00\rangle - |01\rangle + |10\rangle - |11\rangle)$$

## Fouriertransformen av två kvantbitar – intuition

Vi vill implementera  $|a\rangle \mapsto \frac{1}{2} \sum_{c=0}^3 e^{2\pi i ac/4} |c\rangle = \frac{1}{2} \sum_{c=0}^3 i^{ac} |c\rangle$ .

$$|00\rangle \mapsto \frac{1}{2}(|00\rangle + |01\rangle + |10\rangle + |11\rangle)$$

$$|01\rangle \mapsto \frac{1}{2}(|00\rangle + i|01\rangle - |10\rangle - i|11\rangle)$$

$$|10\rangle \mapsto \frac{1}{2}(|00\rangle - |01\rangle + |10\rangle - |11\rangle)$$

$$|11\rangle \mapsto \frac{1}{2}(|00\rangle$$

## Fouriertransformen av två kvantbitar – intuition

Vi vill implementera  $|a\rangle \mapsto \frac{1}{2} \sum_{c=0}^3 e^{2\pi i ac/4} |c\rangle = \frac{1}{2} \sum_{c=0}^3 i^{ac} |c\rangle$ .

$$|00\rangle \mapsto \frac{1}{2}(|00\rangle + |01\rangle + |10\rangle + |11\rangle)$$

$$|01\rangle \mapsto \frac{1}{2}(|00\rangle + i|01\rangle - |10\rangle - i|11\rangle)$$

$$|10\rangle \mapsto \frac{1}{2}(|00\rangle - |01\rangle + |10\rangle - |11\rangle)$$

$$|11\rangle \mapsto \frac{1}{2}(|00\rangle - i|01\rangle - |10\rangle + i|11\rangle)$$

## Fouriertransformen av två kvantbitar – intuition

Vi vill implementera  $|a\rangle \mapsto \frac{1}{2} \sum_{c=0}^3 e^{2\pi i ac/4} |c\rangle = \frac{1}{2} \sum_{c=0}^3 i^{ac} |c\rangle$ .

$$|00\rangle \mapsto \frac{1}{2}(|00\rangle + |01\rangle + |10\rangle + |11\rangle)$$

$$|01\rangle \mapsto \frac{1}{2}(|00\rangle + i|01\rangle - |10\rangle - i|11\rangle)$$

$$|10\rangle \mapsto \frac{1}{2}(|00\rangle - |01\rangle + |10\rangle - |11\rangle)$$

$$|11\rangle \mapsto \frac{1}{2}(|00\rangle - i|01\rangle - |10\rangle + i|11\rangle)$$

Vi kan multiplicera med  $i$  genom att byta fas.

Samla därför termer som innehåller  $i$ .

## Fouriertransformen av två kvantbitar – intuition

Vi vill implementera  $|a\rangle \mapsto \frac{1}{2} \sum_{c=0}^3 e^{2\pi i ac/4} |c\rangle = \frac{1}{2} \sum_{c=0}^3 i^{ac} |c\rangle$ .

$$|00\rangle \mapsto \frac{1}{2}(|00\rangle + |01\rangle + |10\rangle + |11\rangle)$$

$$|01\rangle \mapsto \frac{1}{2}(|00\rangle - |10\rangle) + i \frac{1}{2}(|01\rangle - |11\rangle)$$

$$|10\rangle \mapsto \frac{1}{2}(|00\rangle - |01\rangle + |10\rangle - |11\rangle)$$

$$|11\rangle \mapsto \frac{1}{2}(|00\rangle - |10\rangle) + i \frac{1}{2}(-|01\rangle + |11\rangle)$$

Vi kan multiplicera med  $i$  genom att byta fas.

Samla därför termer som innehåller  $i$ .

Notera att  $i$  enbart dyker upp om bit noll är 1 i VL.

Rotation av bit ett ändrar  $|b_1 b_0\rangle$  till ungefär  $|0b_0\rangle \pm |1b_0\rangle$ .

## Fouriertransformen av två kvantbitar – konstruktion

Rotera först bit ett ( $R_1$ ):

$$\begin{aligned} |00\rangle &\mapsto \frac{1}{\sqrt{2}}|00\rangle + \frac{1}{\sqrt{2}}|10\rangle; & |01\rangle &\mapsto \frac{1}{\sqrt{2}}|01\rangle + \frac{1}{\sqrt{2}}|11\rangle \\ |10\rangle &\mapsto \frac{1}{\sqrt{2}}|00\rangle - \frac{1}{\sqrt{2}}|10\rangle; & |11\rangle &\mapsto \frac{1}{\sqrt{2}}|01\rangle - \frac{1}{\sqrt{2}}|11\rangle \end{aligned}$$

## Fouriertransformen av två kvantbitar – konstruktion

Rotera först bit ett ( $R_1$ ):

$$\begin{aligned} |00\rangle &\mapsto \frac{1}{\sqrt{2}}|00\rangle + \frac{1}{\sqrt{2}}|10\rangle; & |01\rangle &\mapsto \frac{1}{\sqrt{2}}|01\rangle + \frac{1}{\sqrt{2}}|11\rangle \\ |10\rangle &\mapsto \frac{1}{\sqrt{2}}|00\rangle - \frac{1}{\sqrt{2}}|10\rangle; & |11\rangle &\mapsto \frac{1}{\sqrt{2}}|01\rangle - \frac{1}{\sqrt{2}}|11\rangle \end{aligned}$$

Byt sedan fas ( $S \circ R_1$ ):

$$\begin{aligned} |00\rangle &\mapsto \frac{1}{\sqrt{2}}|00\rangle + \frac{1}{\sqrt{2}}|10\rangle; & |01\rangle &\mapsto \frac{1}{\sqrt{2}}|01\rangle + i\frac{1}{\sqrt{2}}|11\rangle \\ |10\rangle &\mapsto \frac{1}{\sqrt{2}}|00\rangle - \frac{1}{\sqrt{2}}|10\rangle; & |11\rangle &\mapsto \frac{1}{\sqrt{2}}|01\rangle - i\frac{1}{\sqrt{2}}|11\rangle \end{aligned}$$

## Fouriertransformen av två kvantbitar – konstruktion

Rotera först bit ett ( $R_1$ ):

$$\begin{aligned} |00\rangle &\mapsto \frac{1}{\sqrt{2}}|00\rangle + \frac{1}{\sqrt{2}}|10\rangle; & |01\rangle &\mapsto \frac{1}{\sqrt{2}}|01\rangle + \frac{1}{\sqrt{2}}|11\rangle \\ |10\rangle &\mapsto \frac{1}{\sqrt{2}}|00\rangle - \frac{1}{\sqrt{2}}|10\rangle; & |11\rangle &\mapsto \frac{1}{\sqrt{2}}|01\rangle - \frac{1}{\sqrt{2}}|11\rangle \end{aligned}$$

Byt sedan fas ( $S \circ R_1$ ):

$$\begin{aligned} |00\rangle &\mapsto \frac{1}{\sqrt{2}}|00\rangle + \frac{1}{\sqrt{2}}|10\rangle; & |01\rangle &\mapsto \frac{1}{\sqrt{2}}|01\rangle + i\frac{1}{\sqrt{2}}|11\rangle \\ |10\rangle &\mapsto \frac{1}{\sqrt{2}}|00\rangle - \frac{1}{\sqrt{2}}|10\rangle; & |11\rangle &\mapsto \frac{1}{\sqrt{2}}|01\rangle - i\frac{1}{\sqrt{2}}|11\rangle \end{aligned}$$

Mönstermatchning – vi vill egentligen ha:

$$\begin{aligned} |00\rangle &\mapsto \frac{1}{2}(|00\rangle + |01\rangle) + \frac{1}{2}(|10\rangle + |11\rangle); & |01\rangle &\mapsto \frac{1}{2}(|00\rangle - |10\rangle) + i\frac{1}{2}(|01\rangle - |11\rangle) \\ |10\rangle &\mapsto \frac{1}{2}(|00\rangle - |01\rangle) + \frac{1}{2}(|10\rangle - |11\rangle); & |11\rangle &\mapsto \frac{1}{2}(|00\rangle - |10\rangle) - i\frac{1}{2}(|01\rangle - |11\rangle) \end{aligned}$$

## Fouriertransformen av två kvantbitar – konstruktion

$S \circ R_1$  ger:

$$\begin{aligned} |00\rangle &\mapsto \frac{1}{\sqrt{2}}|00\rangle + \frac{1}{\sqrt{2}}|10\rangle; & |01\rangle &\mapsto \frac{1}{\sqrt{2}}|01\rangle + i\frac{1}{\sqrt{2}}|11\rangle \\ |10\rangle &\mapsto \frac{1}{\sqrt{2}}|00\rangle - \frac{1}{\sqrt{2}}|10\rangle; & |11\rangle &\mapsto \frac{1}{\sqrt{2}}|01\rangle - i\frac{1}{\sqrt{2}}|11\rangle \end{aligned}$$

## Fouriertransformen av två kvantbitar – konstruktion

$S \circ R_1$  ger:

$$\begin{aligned} |00\rangle &\mapsto \frac{1}{\sqrt{2}}|00\rangle + \frac{1}{\sqrt{2}}|10\rangle; & |01\rangle &\mapsto \frac{1}{\sqrt{2}}|01\rangle + i\frac{1}{\sqrt{2}}|11\rangle \\ |10\rangle &\mapsto \frac{1}{\sqrt{2}}|00\rangle - \frac{1}{\sqrt{2}}|10\rangle; & |11\rangle &\mapsto \frac{1}{\sqrt{2}}|01\rangle - i\frac{1}{\sqrt{2}}|11\rangle \end{aligned}$$

Rotera nu bit noll ( $R_0 \circ S \circ R_1$ ):

$$\begin{aligned} |00\rangle &\mapsto \frac{1}{2}(|00\rangle + |01\rangle) + \frac{1}{2}(|10\rangle + |11\rangle); & |01\rangle &\mapsto \frac{1}{2}(|00\rangle - |01\rangle) + i\frac{1}{2}(|10\rangle - |11\rangle) \\ |10\rangle &\mapsto \frac{1}{2}(|00\rangle + |01\rangle) - \frac{1}{2}(|10\rangle + |11\rangle); & |11\rangle &\mapsto \frac{1}{2}(|00\rangle - |01\rangle) - i\frac{1}{2}(|10\rangle - |11\rangle) \end{aligned}$$

## Fouriertransformen av två kvantbitar – konstruktion

$S \circ R_1$  ger:

$$\begin{aligned} |00\rangle &\mapsto \frac{1}{\sqrt{2}}|00\rangle + \frac{1}{\sqrt{2}}|10\rangle; & |01\rangle &\mapsto \frac{1}{\sqrt{2}}|01\rangle + i\frac{1}{\sqrt{2}}|11\rangle \\ |10\rangle &\mapsto \frac{1}{\sqrt{2}}|00\rangle - \frac{1}{\sqrt{2}}|10\rangle; & |11\rangle &\mapsto \frac{1}{\sqrt{2}}|01\rangle - i\frac{1}{\sqrt{2}}|11\rangle \end{aligned}$$

Rotera nu bit noll ( $R_0 \circ S \circ R_1$ ):

$$\begin{aligned} |00\rangle &\mapsto \frac{1}{2}(|00\rangle + |01\rangle) + \frac{1}{2}(|10\rangle + |11\rangle); & |01\rangle &\mapsto \frac{1}{2}(|00\rangle - |01\rangle) + i\frac{1}{2}(|10\rangle - |11\rangle) \\ |10\rangle &\mapsto \frac{1}{2}(|00\rangle + |01\rangle) - \frac{1}{2}(|10\rangle + |11\rangle); & |11\rangle &\mapsto \frac{1}{2}(|00\rangle - |01\rangle) - i\frac{1}{2}(|10\rangle - |11\rangle) \end{aligned}$$

Mönstermatchning – vi vill egentligen ha:

$$\begin{aligned} |00\rangle &\mapsto \frac{1}{2}(|00\rangle + |01\rangle) + \frac{1}{2}(|10\rangle + |11\rangle); & |01\rangle &\mapsto \frac{1}{2}(|00\rangle - |10\rangle) + i\frac{1}{2}(|01\rangle - |11\rangle) \\ |10\rangle &\mapsto \frac{1}{2}(|00\rangle - |01\rangle) + \frac{1}{2}(|10\rangle - |11\rangle); & |11\rangle &\mapsto \frac{1}{2}(|00\rangle - |10\rangle) - i\frac{1}{2}(|01\rangle - |11\rangle) \end{aligned}$$

## Fouriertransformen av två kvantbitar – konstruktion

$S \circ R_1$  ger:

$$\begin{aligned} |00\rangle &\mapsto \frac{1}{\sqrt{2}}|00\rangle + \frac{1}{\sqrt{2}}|10\rangle; & |01\rangle &\mapsto \frac{1}{\sqrt{2}}|01\rangle + i\frac{1}{\sqrt{2}}|11\rangle \\ |10\rangle &\mapsto \frac{1}{\sqrt{2}}|00\rangle - \frac{1}{\sqrt{2}}|10\rangle; & |11\rangle &\mapsto \frac{1}{\sqrt{2}}|01\rangle - i\frac{1}{\sqrt{2}}|11\rangle \end{aligned}$$

Rotera nu bit noll ( $R_0 \circ S \circ R_1$ ):

$$\begin{aligned} |00\rangle &\mapsto \frac{1}{2}(|00\rangle + |01\rangle) + \frac{1}{2}(|10\rangle + |11\rangle); & |01\rangle &\mapsto \frac{1}{2}(|00\rangle - |01\rangle) + i\frac{1}{2}(|10\rangle - |11\rangle) \\ |10\rangle &\mapsto \frac{1}{2}(|00\rangle + |01\rangle) - \frac{1}{2}(|10\rangle + |11\rangle); & |11\rangle &\mapsto \frac{1}{2}(|00\rangle - |01\rangle) - i\frac{1}{2}(|10\rangle - |11\rangle) \end{aligned}$$

Mönstermatchning – vi vill egentligen ha:

$$\begin{aligned} |00\rangle &\mapsto \frac{1}{2}(|00\rangle + |01\rangle) + \frac{1}{2}(|10\rangle + |11\rangle); & |01\rangle &\mapsto \frac{1}{2}(|00\rangle - |10\rangle) + i\frac{1}{2}(|01\rangle - |11\rangle) \\ |10\rangle &\mapsto \frac{1}{2}(|00\rangle - |01\rangle) + \frac{1}{2}(|10\rangle - |11\rangle); & |11\rangle &\mapsto \frac{1}{2}(|00\rangle - |10\rangle) - i\frac{1}{2}(|01\rangle - |11\rangle) \end{aligned}$$

Vi är nästan klara, vi behöver bara byta ordning på bitarna i HL!

## **Fouriertransformen – generella fallet**

Transformen av två kvantbitar kan skrivas  $R_0 \circ S \circ R_1 \circ$  (bitväxling).  
Detta går att generalisera.

## Fouriertransformen – generella fallet

Transformen av två kvantbitar kan skrivas  $R_0 \circ S \circ R_1 \circ$  (bitväxling).  
Detta går att generalisera.

Vi använder operationerna  $R_k$  – operera med  $\frac{1}{\sqrt{2}} \begin{pmatrix} 1 & 1 \\ 1 & -1 \end{pmatrix}$  på bit  $k$  – och

$S_{kl}$  – operera med  $\begin{pmatrix} 1 & 0 & 0 & 0 \\ 0 & 1 & 0 & 0 \\ 0 & 0 & 1 & 0 \\ 0 & 0 & 0 & e^{2\pi i / 2^{l-k}} \end{pmatrix}$  på bitarna  $k$  och  $l$ .

## Fouriertransformen – generella fallet

Transformen av två kvantbitar kan skrivas  $R_0 \circ S \circ R_1 \circ$  (bitväxling).  
Detta går att generalisera.

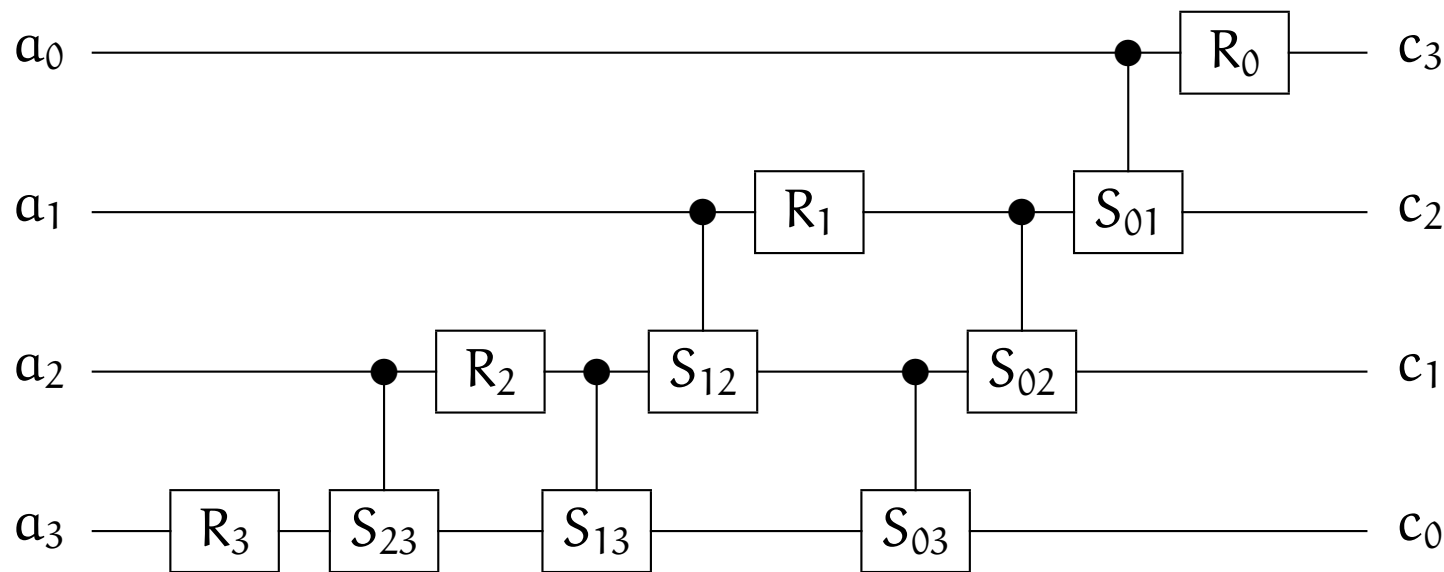
Vi använder operationerna  $R_k$  – operera med  $\frac{1}{\sqrt{2}} \begin{pmatrix} 1 & 1 \\ 1 & -1 \end{pmatrix}$  på bit  $k$  – och

$S_{k\ell}$  – operera med  $\begin{pmatrix} 1 & 0 & 0 & 0 \\ 0 & 1 & 0 & 0 \\ 0 & 0 & 1 & 0 \\ 0 & 0 & 0 & e^{2\pi i / 2^{\ell-k}} \end{pmatrix}$  på bitarna  $k$  och  $\ell$ .

Transformen av  $n$  bitar kan då skrivas

$R_0 \circ S_{0,1} \circ \cdots \circ S_{0,n-1} \circ R_1 \circ \cdots \circ R_{n-3} \circ S_{n-3,n-2} \circ S_{n-3,n-1} \circ R_{n-2} \circ S_{n-2,n-1} \circ R_{n-1}$ .

## Fouriertransformen – grafiskt schema



Antal operationer:  $O(n^2)$ .

# **Avslutning**

Vi kan faktorisera i polynomisk tid med kvantberäkningar.

Är modellen realistisk?

# **Avslutning**

Vi kan faktorisera i polynomisk tid med kvantberäkningar.

Är modellen realistisk? Svårt att säga. . .

## Avslutning

Vi kan faktorisera i polynomisk tid med kvantberäkningar.

Är modellen realistisk? Svårt att säga. . .

Det verkar svårt att bygga datorer enligt modellen.

Rekord för närvarande: 7 bitar, faktorisera 15.

(*Nature* 414, ss 883–887, 2001.)

## Avslutning

Vi kan faktorisera i polynomisk tid med kvantberäkningar.

Är modellen realistisk? Svårt att säga. . .

Det verkar svårt att bygga datorer enligt modellen.

Rekord för närvarande: 7 bitar, faktorisera 15.

(*Nature* 414, ss 883–887, 2001.)

Å andra sidan har den klassiska datorn utvecklas en hel del sedan turingmaskinen introducerades – kanske ska vi inte bygga kvantdatorer exakt enligt modellen?

## Avslutning

Vi kan faktorisera i polynomisk tid med kvantberäkningar.

Är modellen realistisk? Svårt att säga. . .

Det verkar svårt att bygga datorer enligt modellen.

Rekord för närvarande: 7 bitar, faktorisera 15.

(*Nature* 414, ss 883–887, 2001.)

Å andra sidan har den klassiska datorn utvecklas en hel del sedan turingmaskinen introducerades – kanske ska vi inte bygga kvantdatorer exakt enligt modellen?

Ett modellproblem: Hur stoppar vi in indata i kvantbitarna? Kräver att bitarna tvingas till ett specifikt tillstånd.